

HEIC-Cube

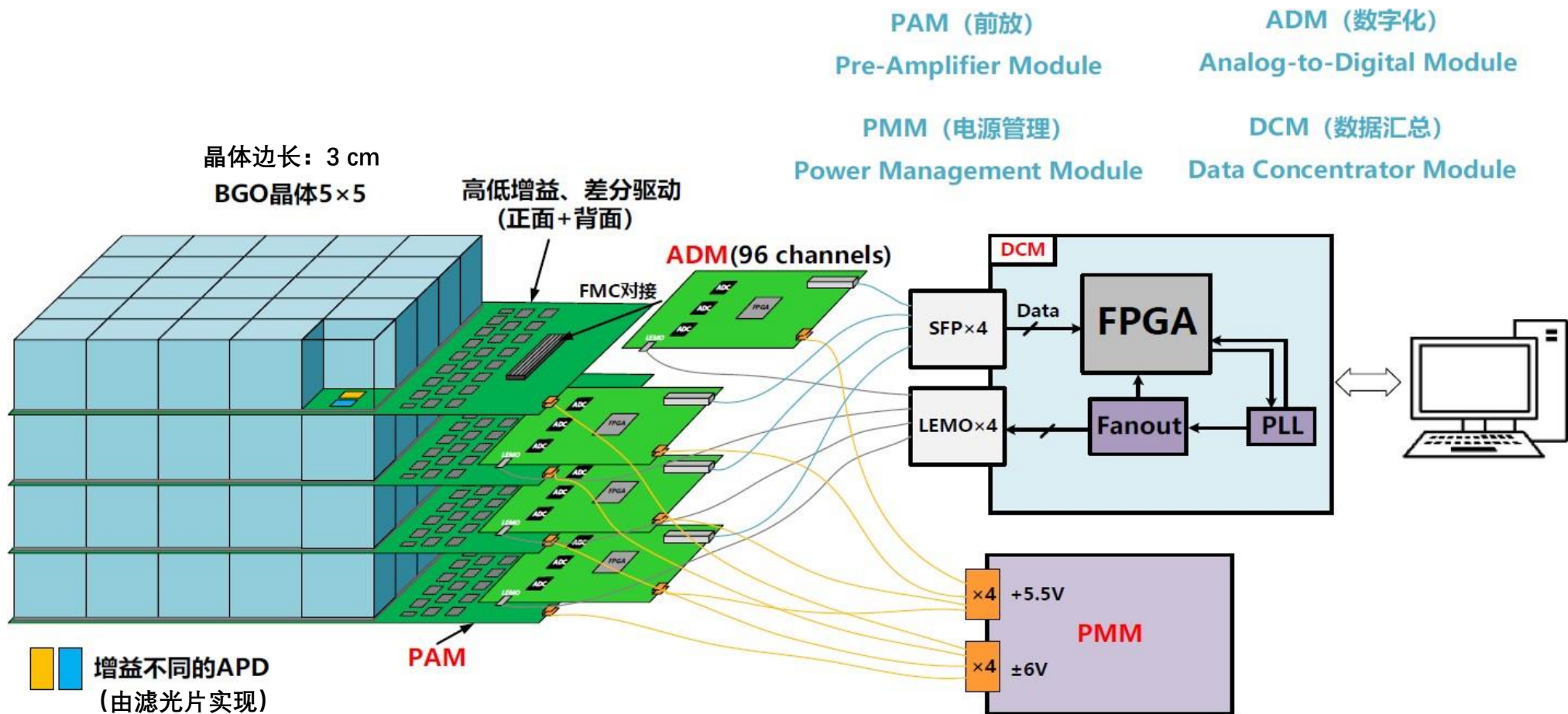
束流数据处理

张研硕

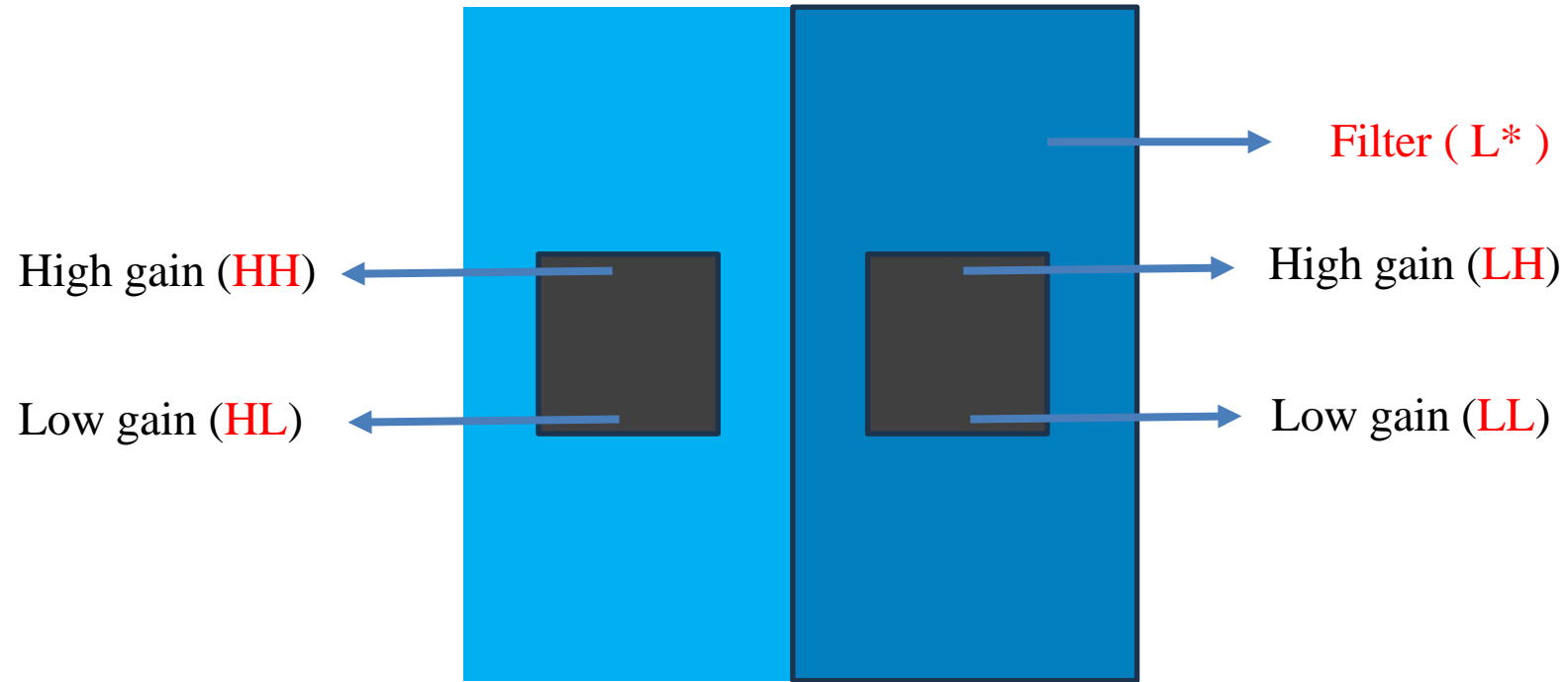
中国科学技术大学

2023.11.16

HEIC-Cube structure

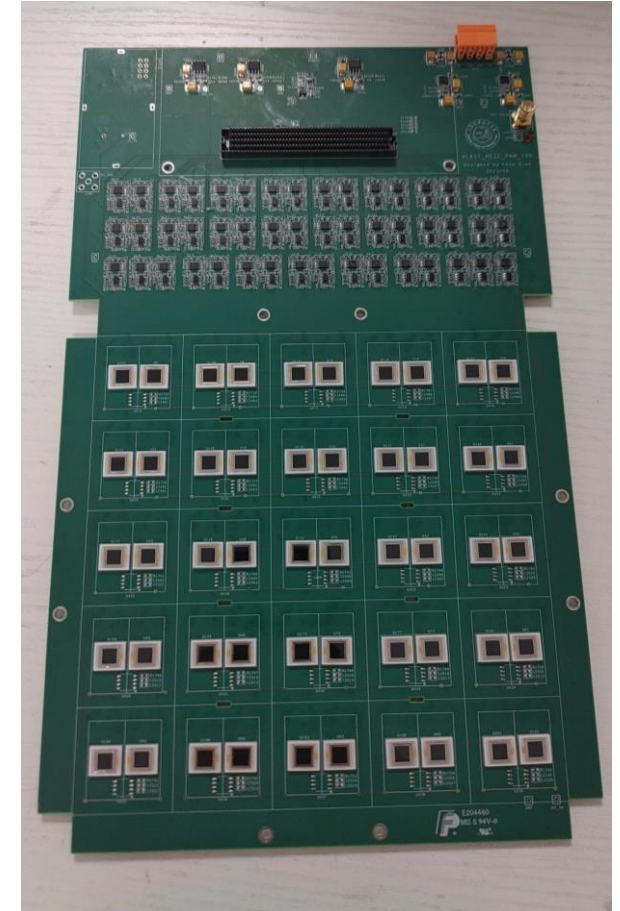


Readout scheme of HEIC-Cube



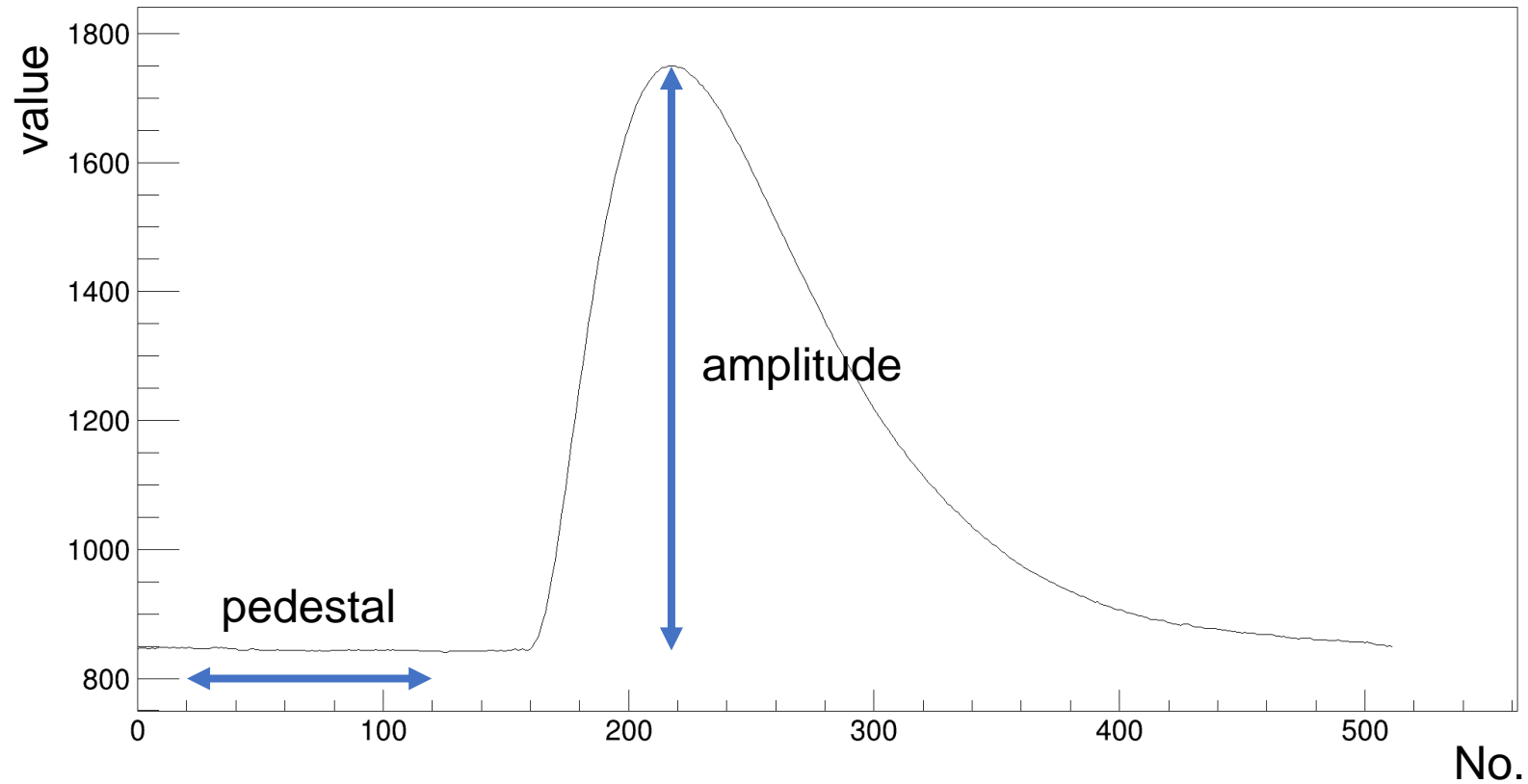
Different APDs use **filters** to realize high-low gain. (H* / L*)

One APD realizes high-low gain by **electronics**. (*H / *L)



Waveform sampling

Particle	Momentum (GeV/c)	Total counts
e^-	1, 2, 3, 4, 5	1,012,152
μ^-	5	327,294
π^-	10, 12	409,269



Data analysis content

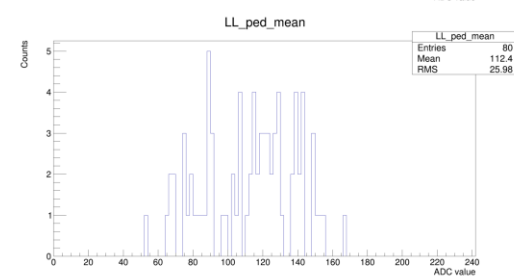
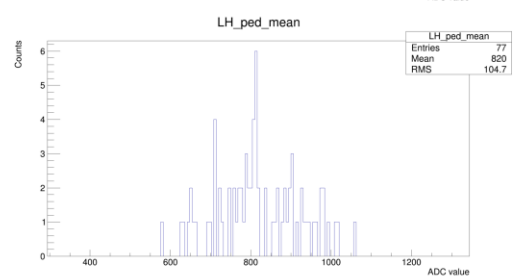
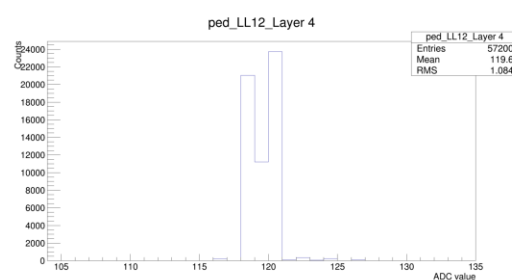
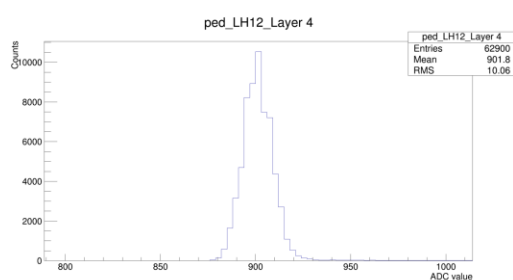
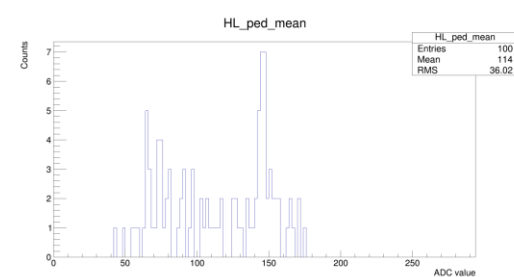
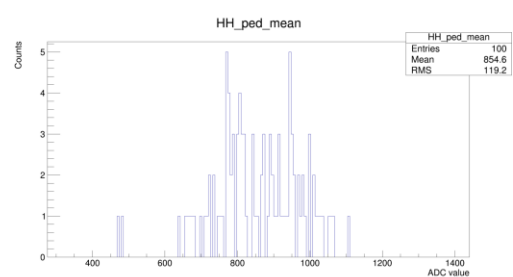
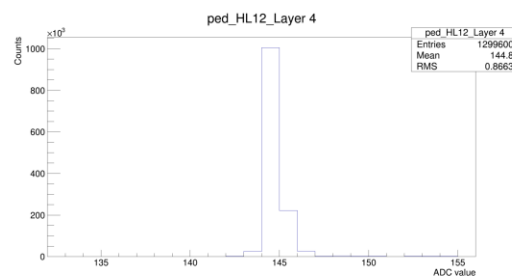
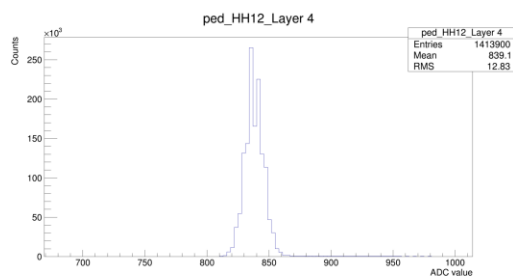
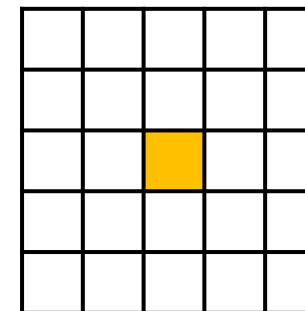
- Pion:
 - Pedestal;
 - HG-LG ratio;

- Muon:
 - MIPs;

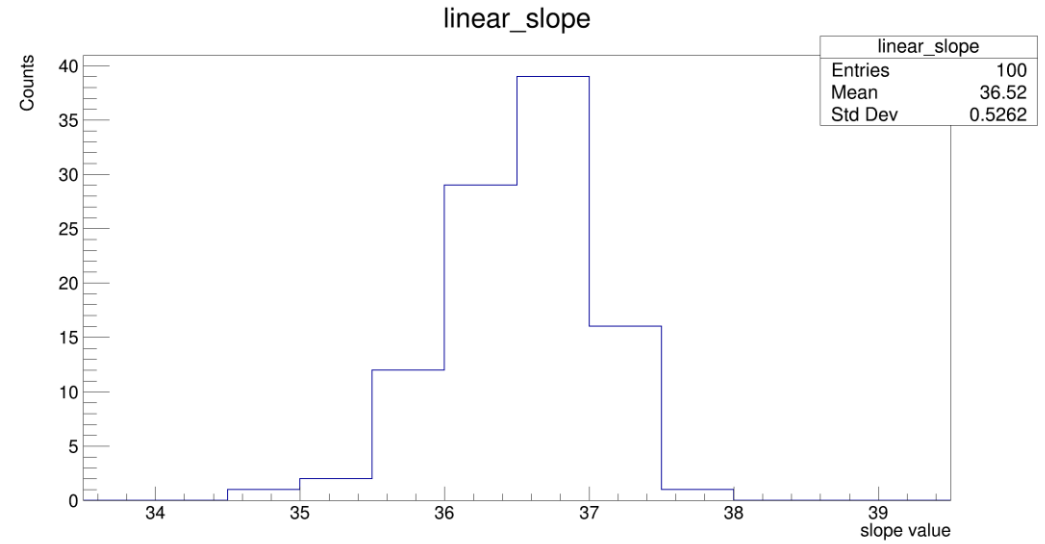
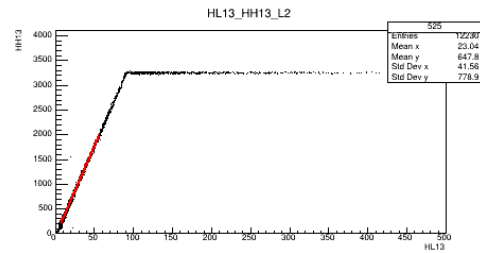
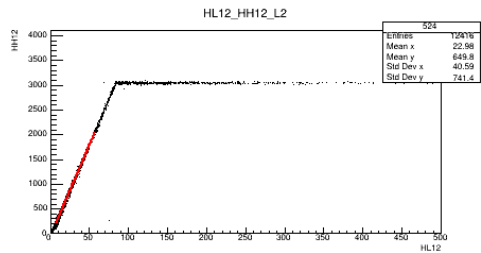
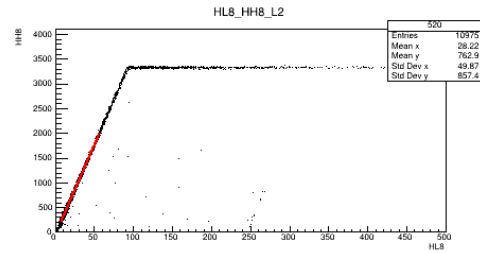
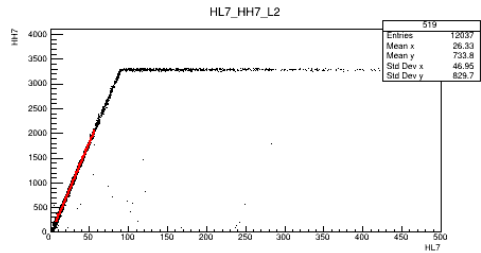
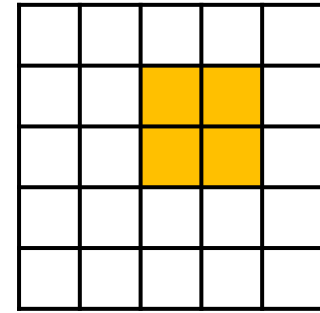
Pion data summary

- 粒子动量为 **12 GeV/c**;
- 汇总了 25 个等间距位置扫描的数据文件, RunID 从 10045 到 10069;
- 入射位置分别对准 25 个小晶体的中心;
- 总共获得 **232844** 个有效事例。

Pion pedestal



Pion HG-LG ratio



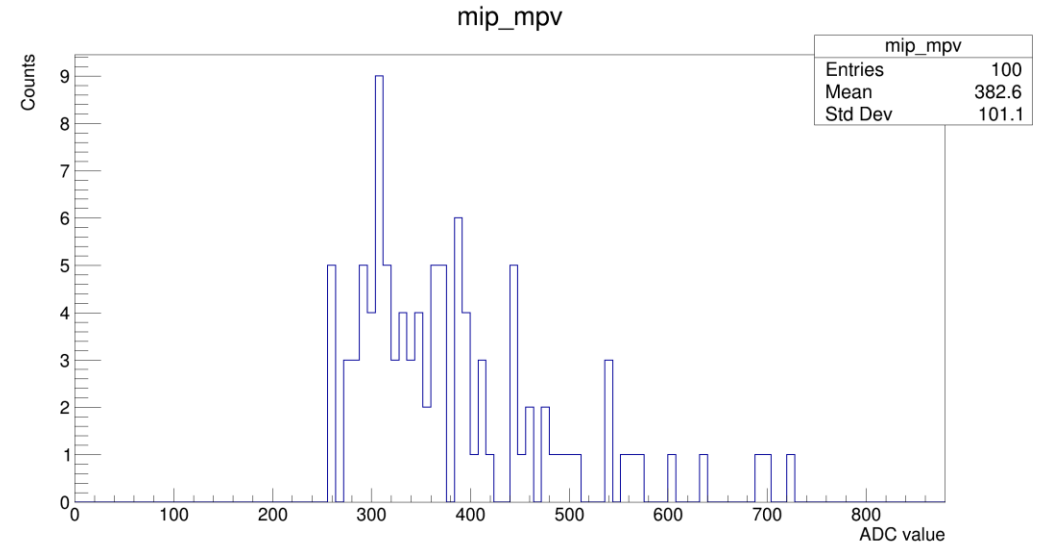
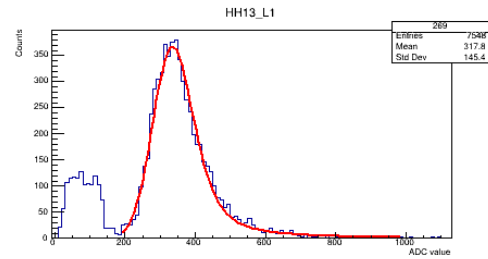
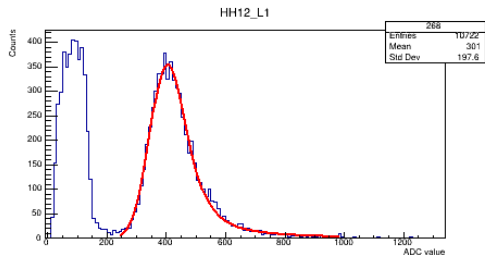
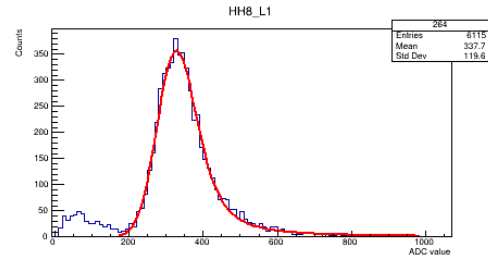
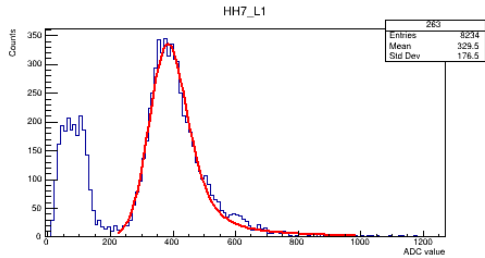
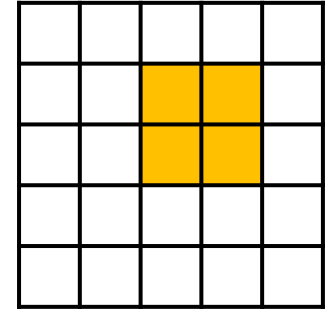
Muon data summary

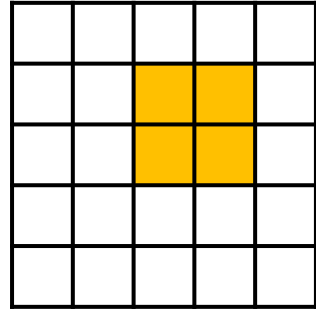
- 粒子动量为 $5 \text{ GeV}/c$,
- 汇总了 25 个等间距位置扫描的数据文件, RunID 从 10004 到 10032;
- 入射位置分别对准 25 个小晶体的中心,
- 总共获得 192686 个有效事例。

Muon MIPs

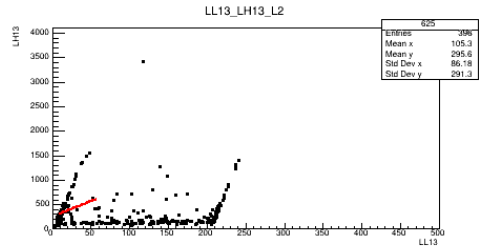
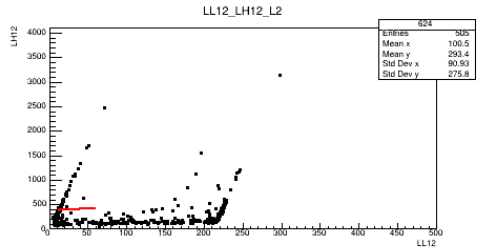
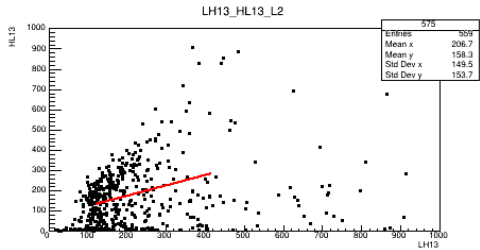
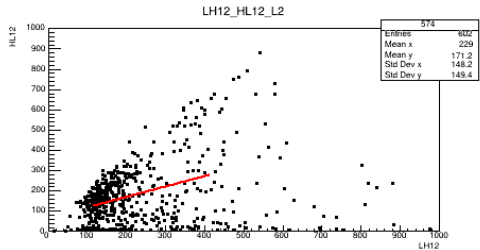
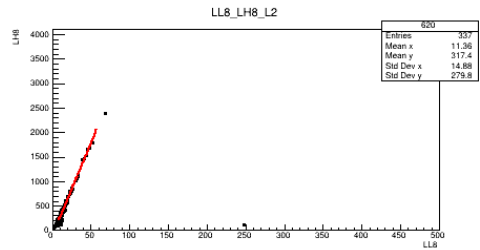
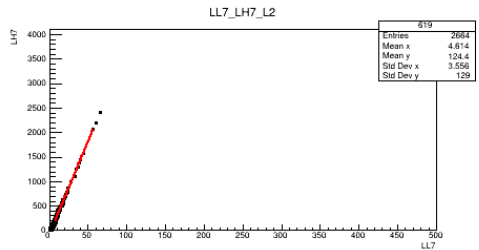
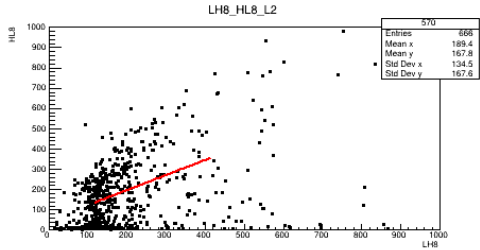
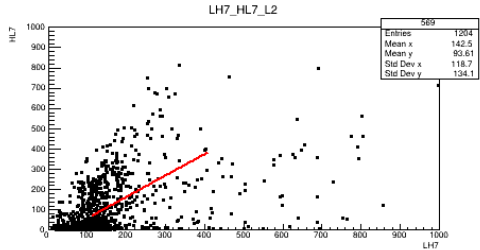
Screening condition:

- Igniting layers ≥ 3 ;
- ≤ 2 channels in one layer;

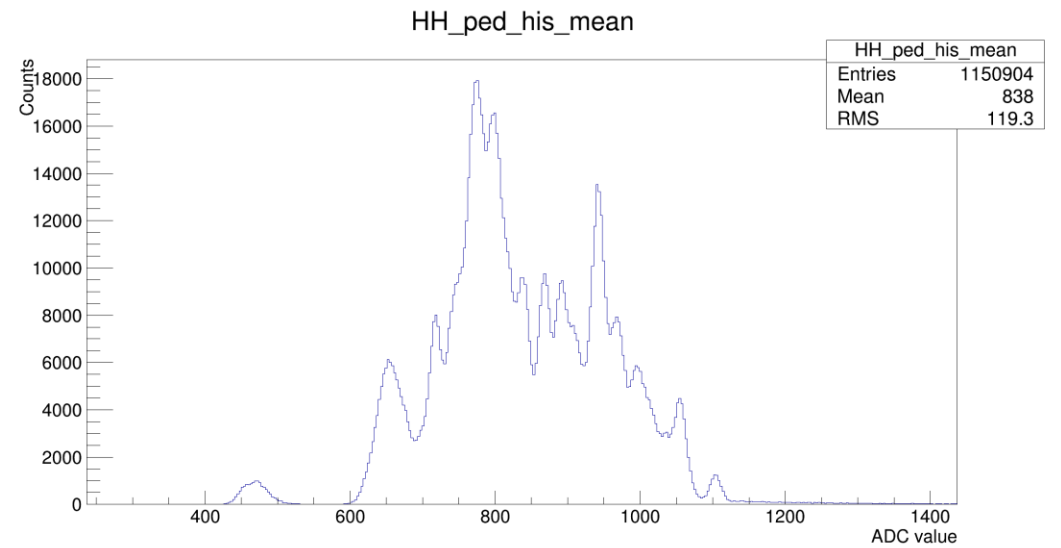
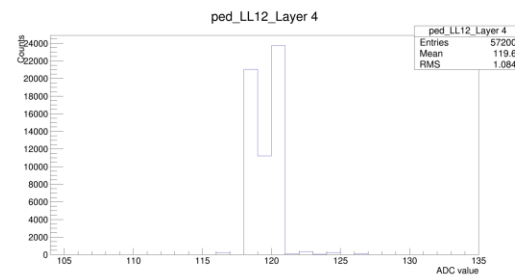
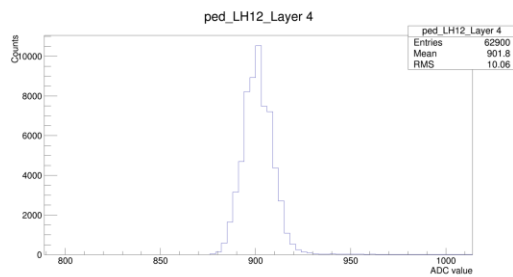
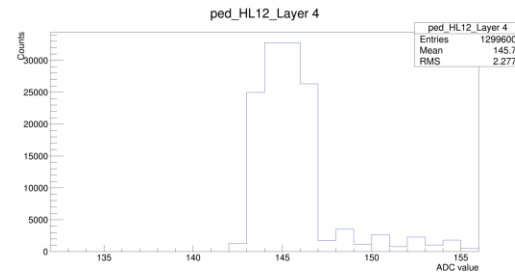
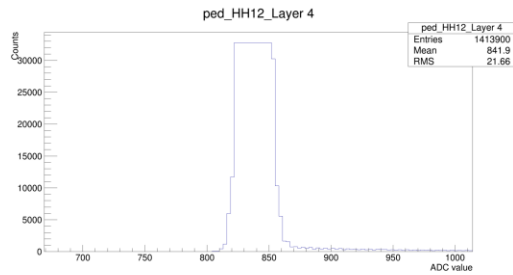
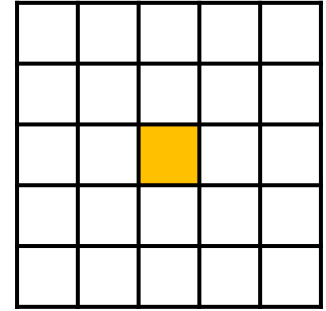




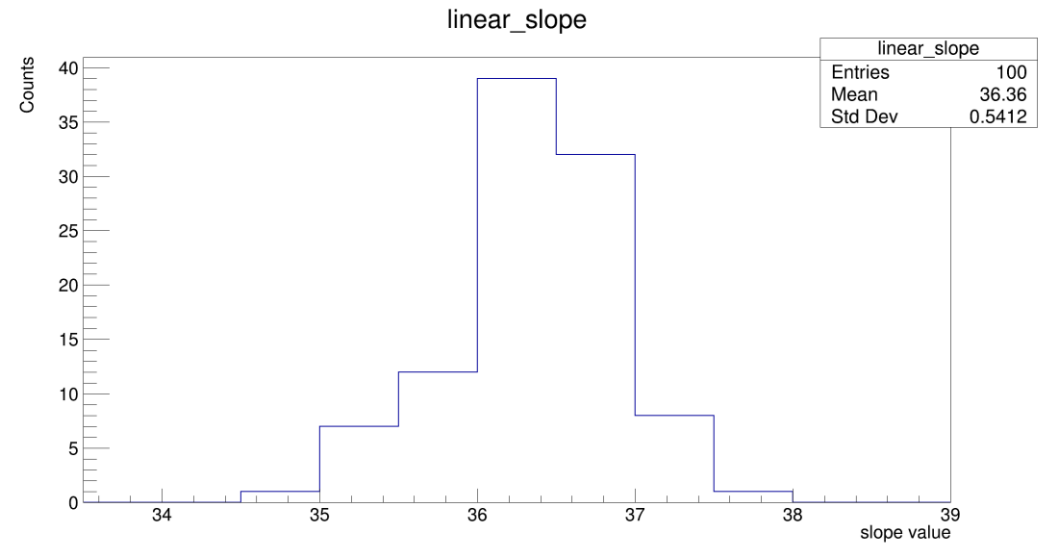
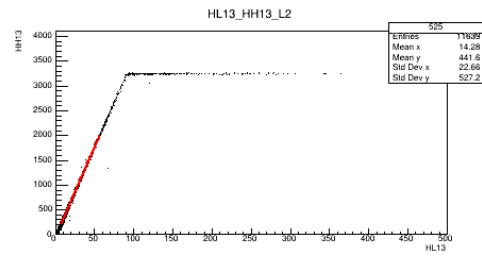
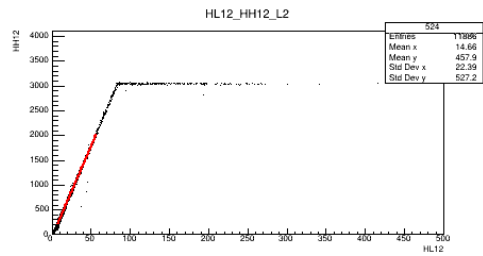
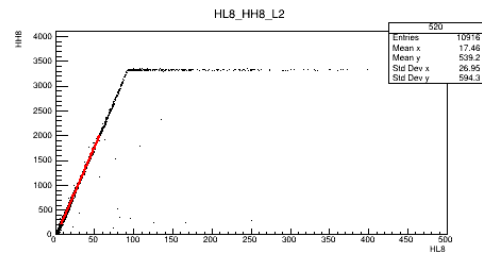
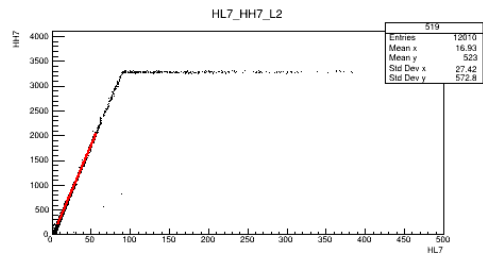
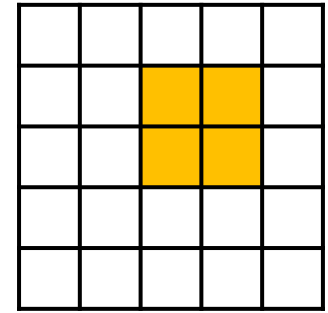
Pion HG-LG ratio



Muon pedestal



Muon HG-LG ratio



Muon HG-LG ratio

